



University of Tehran Press

**Journal of Natural Environment**

Online ISSN: 2423-7817

Homepage: <https://jne.ut.ac.ir/>

# Investigation of smoke movement patterns from the Haur-Al-Azim wetland fire using a combination of MODIS imagery and the CALPUFF model

Fatemeh Mahamudi<sup>1</sup> | Hossein Madadi<sup>2</sup> | Hossein Moradi<sup>3</sup> | Gholamreza Sabzeghabaei<sup>4</sup>

1. Department of Environmental Sciences, Faculty of Natural Resource, Behbahan Khatam Alanbia University of Technology, Behbahan, Iran. E-mail: [fatemeh.ma96@gmail.com](mailto:fatemeh.ma96@gmail.com)

2. Corresponding Author, Department of Environmental Sciences, Faculty of Natural Resource, Behbahan Khatam Alanbia University of Technology, Behbahan, Iran. E-mail: [hosein.madadi@gmail.com](mailto:hosein.madadi@gmail.com)

3. Department of Environmental Sciences, Faculty of Natural Resource, Isfahan University of Technology, Isfahan, Iran. E-mail: [hossein.moradi.env@gmail.com](mailto:hossein.moradi.env@gmail.com)

4. Department of Environmental Sciences, Faculty of Natural Resource, Behbahan Khatam Alanbia University of Technology, Behbahan, Iran. E-mail: [grsabz1@gmail.com](mailto:grsabz1@gmail.com)

| Article Info  | ABSTRACT   |
|---|--|
| <b>Article type:</b><br>Research Article  | Haur-Al-Azim, an important ecosystem in the southwest of Iran, suffered numerous wildfires in 2018. This study aims to model the dispersal of smoke resulting from those wildfires. In order to achieve this, the emission rate of particulate matter was calculated utilizing MODIS products. The study made use of data from seven climate stations in Iran and Iraq, together with local ecological conditions and emission rates, to simulate 24-hour means of PM10 through the use of the CALMET/CALPUFF package model. The study found that on September 9, 2018, the highest emission rate was measured at 0.0024 g/m <sup>2</sup> /s. This resulted in more than 42700 individuals being exposed to PM10 concentrations that exceeded the standard. Integrating remote sensing data into an air pollution modeling system can be used as an identification method to assess air quality from a spatial and temporal perspective. |
| <b>Article history:</b><br>Received 29 July 2023<br>Received in revised form 12 October 2023<br>Accepted 14 November 2023<br>Published online 27 January 2024 |  |

**Keywords:**

Air pollution,  
Climate data,  
Remote sensing.

**Cite this article:** Mahamudi, F., Madadi, H., Moradi, H., & Sabzeghabaei, Gh. (2024). Investigation of smoke movement patterns from the Haur-Al-Azim wetland fire using a combination of MODIS imagery and the CALPUFF model. *Journal of Natural Environment*, 76 (Special Issue), 197-212. DOI: <http://doi.org/10.22059/jne.2023.362988.2583>



© The Author(s).

DOI: <http://doi.org/10.22059/jne.2023.362988.2583>

Publisher: University of Tehran Press.

# محیط زیست طبیعی

شایعی اکترونیکی: ۷۸۱۷-۲۴۲۳

Homepage: <https://jne.ut.ac.ir/>



اتشارات دانشگاه  
تهران

## بررسی الگوهای حرکتی دود ناشی از آتشسوزی تالاب هور العظیم با تلفیق تصاویر مودیس و مدل CALPUFF

فاطمه محمودی<sup>۱</sup> | حسین مرادی<sup>۲</sup> | غلامرضا سبزقبایی<sup>۴</sup>

۱. گروه محیط زیست، دانشکده منابع طبیعی، دانشگاه صنعتی خاتم الانبیاء بهبهان، بهبهان، ایران. رایانامه: fatemeh.ma96@gmail.com

۲. نویسنده مسئول، گروه محیط زیست، دانشکده منابع طبیعی، دانشگاه صنعتی خاتم الانبیاء بهبهان، بهبهان، ایران. رایانامه: hosein.madadi@gmail.com

۳. گروه محیط زیست، دانشکده صنعتی اصفهان، اصفهان، ایران. رایانامه: hossein.moradi.env@gmail.com

۴. گروه محیط زیست، دانشکده منابع طبیعی، دانشگاه صنعتی خاتم الانبیاء بهبهان، بهبهان، ایران. رایانامه: grsabz1@gmail.com

### اطلاعات مقاله

#### چکیده

تالاب هور العظیم به عنوان یکی از اکوسیستم‌های ارزشمند زیستی در جنوب غربی ایران در سال ۱۳۹۷ با رخدادهای آتشسوزی متعدد رویه رو بوده است. هدف تحقیق حاضر، مدل‌سازی پراکنش دود ناشی از این آتشسوزی‌ها بوده است. بدین منظور از تصاویر ماهواره‌ای مودیس در بازه‌های زمانی و قوع رخدادهای آتشسوزی، جهت برآورد نرخ انتشار ذرات معلق استفاده شد. سپس با استفاده از مدل CALPUFF از تلفیق داده‌های هواشناسی هفت ایستگاه سینوپتیک در دو کشور ایران و عراق، شرایط اکولوژیک منطقه و نرخ انتشار حاصل از سنجش‌از دور، مقدار متوسط غلظت ۲۴ ساعته ذرات معلق کوچک‌تر از ۱۰ میکرون شبیه‌سازی شد. براساس نتایج به دست آمده، بیشترین مقدار نرخ انتشار دود ناشی از آتشسوزی، با ۰/۰۰۲۶ گرم بر مترمربع در ثانیه، در روز ۱۸ شهریورماه برآورد شد. در این روز جمعیتی بالغ بر ۴۲۷۰۰ نفر در معرض غلظت‌های بالاتر از حد استاندارد ذرات معلق کوچک‌تر از ۱۰ میکرون قرار داشتند. تلفیق داده‌های سنجش‌از دور با مدل‌های پراکنش آلودگی هوا می‌تواند رویکرد بسیار مناسبی در شناسایی گسترده‌های مکانی و زمانی ارزیابی کیفیت هوا در رخدادهای آتشسوزی طبیعی باشد.

نوع مقاله: مقاله پژوهشی

تاریخ دریافت: ۱۴۰۲/۰۵/۷

تاریخ بازنگری: ۱۴۰۲/۰۷/۲۰

تاریخ پذیرش: ۱۴۰۲/۰۸/۲۳

تاریخ انتشار: ۱۴۰۲/۱۱/۰۷

کلیدواژه‌ها:

آلودگی هوا،

داده‌های هواشناسی،

سنجش‌از دور.

استناد: محمودی، فاطمه؛ مرادی، حسین؛ سبزقبایی، غلامرضا (۱۴۰۲). بررسی الگوهای حرکتی دود ناشی از آتشسوزی تالاب هور العظیم با تلفیق تصاویر مودیس و مدل CALPUFF. محیط زیست طبیعی، ۷۶ (ویژه نامه)، ۲۱۲-۱۹۷.

DOI: <http://doi.org/10.22059/jne.2023.362988.2583>



© نویسنده‌گان.

ناشر: مؤسسه انتشارات دانشگاه تهران.

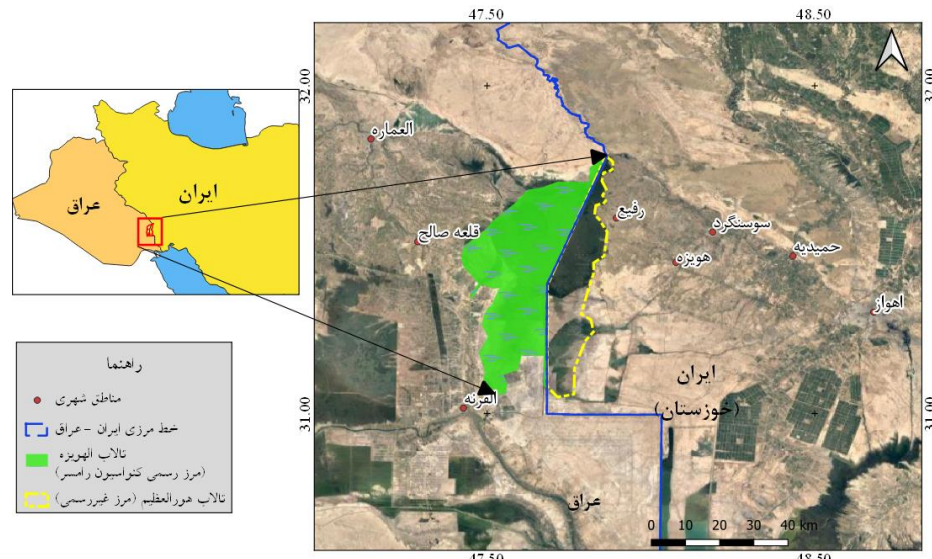
**مقدمه**

تالاب‌ها یکی از با ارزش‌ترین اکوسیستم‌های کره زمین هستند که دارای کارکردهای مهم در سیمای سرزمین می‌باشند (William et al., 2015). این ساختارهای طبیعی در حفاظت از آبزیان و حیات وحش، ذخیره و پاکسازی منابع آبی آلوه در پایاب رودخانه‌ها، تعدیل کننده رخدادهای خشکسالی و سیلاب، جلوگیری از پیشروی آب دریا، تغذیه سفره‌های آب زیرزمینی، تقویت شبکه غذایی و حفظ غنای گونه‌ای، نقش تعیین کننده‌ای دارند (Mitsch and Gosselink, 2007). تالاب‌ها با ایجاد زیستگاه‌های منحصر به فرد برای طیف وسیعی از گونه‌های گیاهی و جانوری، نقش اساسی در حفظ تنوع زیستی دارند (William et al., 2015). تولیدات گیاهی تالاب، محرك کلیدی در پویایی اکوسیستم تالابی و ارائه خدمات اکوسیستمی است (Lumbierres et al., 2017). با وجود خدمات ارزشمند محیط‌زیستی که تالاب‌ها ارائه می‌دهند، تولیدات گیاهی تالاب‌ها تحت عنوان زی توده گیاهی (Biomass)، به عنوان یکی از مؤلفه‌های اصلی در بروز بحران آتش‌سوزی در چنین اکوسیستم‌هایی به شمار می‌رود. آتش‌سوزی پدیده‌ای است که در سرتاسر جهان در اکوسیستم‌های طبیعی رخ می‌دهد. بر اثر این پدیده، انرژی ذخیره‌شده توسط گیاهان طی فرآیند فتوسنتز، آزاد می‌شود (Weise and Wright, 2014). تغییر در الگوهای دمایی و بارندگی بر اثر تغییر اقلیم منجر به افزایش تعداد و شدت آتش‌سوزی‌ها در طی چند دهه گذشته شده است (Westerling et al., 2006). همچنین براساس پیش‌بینی‌های انجام‌شده، تغییر اقلیم با ایجاد فصول خشکتر، گرم‌تر و طولانی‌تر منجر به ایجاد آتش‌سوزی‌های بیشتر و شدیدتر خواهد شد (Hauptman et al., 2018; Mills et al., 2020). از مهم‌ترین اثرات قابل مشاهده آتش‌سوزی‌های طبیعی، انتشار دود ناشی از آن می‌باشد. این دود شامل آلاینده‌های متعددی نظیر مونوکسید کربن (CO)، دی‌اکسید نیتروژن ( $\text{NO}_2$ )، ازن ( $\text{O}_3$ )، ذرات معلق (PM)، هیدروکربن‌های آروماتیک چند حلقه‌ای (PAHs) و مواد آلی فرار (VOCs) هستند (Naehler et al., 2007). آتش‌سوزی زی توده‌های گیاهی بالاترین سهم را در انتشار ذرات معلق (PM) به اتمسفر داشته و دومین منبع آزادسازی کربن سیاه به جو زمین می‌باشد (Wiedinmyer et al., 2006US EPA, 2012; Myers-Pigg et al., 2016). در مطالعات متعددی بر تأثیر منفی این ذرات معلق بر سلامت جوامع انسانی که در معرض دود ناشی از آتش‌سوزی‌های طبیعی قرار دارند، تأکید شده است (Reid et al., 2018). از آتش‌سوزی بر روی کودکان بیان کردند که به دلیل نیازهای فیزیولوژیکی بدن در سنین پایین‌تر، میزان دم و بازدم در واحد زمان در کودکان بیشتر از بزرگسالان بوده و از سوی دیگر به دلیل وجود ریه‌های در حال رشد، کودکان بیشتر در معرض آسیب قرار دارند (Mills et al., 2018). با توجه به اینکه در مناطق تالابی علاوه بر وجود گونه‌های گیاهی و جانوری، جوامع انسانی کوچک و بزرگی نیز وجود دارند که شرایط زندگی آن‌ها کاملاً وابسته به تالاب می‌باشد، بنابراین هر گونه افت کیفیت در سلامت تالاب می‌تواند تأثیر مستقیمی بر کیفیت زندگی جوامع انسانی وابسته به آن داشته باشد. عوامل مختلفی مانند مساحت سوخته، میزان زی توده سوخته، فراوانی، شدت و پراکندگی آتش‌سوزی، شرایط هواشناسی منطقه در زمان آتش‌سوزی و موقعیت مکانی مراکز جمعیتی نسبت به رخداد آتش‌سوزی از جمله عواملی هستند که در اثرگذاری آتش‌سوزی بر جوامع انسانی دخالت دارند (Williamson et al., 2016; Long et al., 2018). روش‌های مختلفی برای مشخص نمودن میزان جمعیتی که در معرض ذرات معلق ناشی از آتش‌سوزی طبیعی قرار می‌گیرند وجود دارد. Reid و همکاران (۲۰۱۶) در بررسی مروری، عوارض سلامت جوامع انسانی که در معرض دود آتش‌سوزی طبیعی بودند را مورد بررسی قرار دادند (Reid et al., 2016). آن‌ها در مطالعه خود از اطلاعات مراکز درمانی و افراد مراجعه‌کننده به این مراکز در طی آتش‌سوزی‌های مختلف استفاده کردند. از روش‌های اولیه و قدیمی برای این نوع ارزیابی، مقایسه آمار سلامت افراد جامعه در دو بازه زمانی رخداد آتش‌سوزی و بدون رخداد آتش‌سوزی بوده است (Reid and Maestas, 2019). به تدریج با شکل‌گیری ایستگاه‌های کنترل کیفیت هوا، پایش و بررسی داده این ایستگاه‌ها در ارزیابی دود آتش‌سوزی‌های طبیعی مورد استفاده قرار گرفت (Wiedinmyer et al., 2006). امروزه با در اختیار داشتن حجم زیاد داده‌های سنجش‌از دور در اندازه‌های تفکیک مکانی، زمانی، طیفی و رادیومتری مختلف، بررسی رخدادهای آتش‌سوزی و دود ناشی از آن به عنوان یکی از روش‌های نوین در ارزیابی سلامت جامعه شناخته می‌شود (Henderson et al., 2008). یکی از مهم‌ترین چالش‌های موجود در زمینه استفاده از داده‌های ماهواره‌ای، تعیین نرخ انتشار دود ناشی از آتش‌سوزی است (Lu et al., 2019). از نظر Kaufman و همکاران (۱۹۹۶) نرخ انتشار انرژی تابشی آتش‌سوزی می‌تواند به عنوان شاخص نرخ میزان مصرف زی توده‌های

گیاهی به عنوان سوخت مصرفی در رخدادهای آتش‌سوزی طبیعی مورد استفاده قرار گیرد (Kaufman *et al.*, 1996). بر این اساس می‌توان با اندازه‌گیری توان تابشی آتش (FRP<sup>1</sup>) با استفاده از سنجنده‌های ماهواره‌ای با مشخص کردن ویژگی‌های رخداد آتش سوزی و کمی نمودن زی توده مصرفی در زمان آتش‌سوزی، نرخ انتشار ذرات معلق را بدست آورد (Wooster and Zhang, 2004; Smith and Wooster, 2005; Mazzoni *et al.*, 2007; Ichoku *et al.*, 2008; Ellicott *et al.*, 2009; Vermote 2014 *et al.*). با توجه به برداشت لحظه‌ای آتش‌سوزی و دود آن توسط سنجنده‌های ماهواره‌ای، حداقل یک یا دو بار در روز، عملاً امکان پایش لحظه به لحظه رفتار دود آتش‌سوزی با استفاده از داده‌های ماهواره‌ای وجود ندارد (Remy and Kaise, 2014). از سوی دیگر، به دلیل تأثیر دود ناشی از آتش‌سوزی در مقیاس‌های محلی تا منطقه‌ای، و وابستگی رفتار دود آتش‌سوزی به شرایط آب و هوایی و فیزیوگرافی منطقه آتش‌گرفته، مدل‌سازی پراکنش دود آتش‌سوزی می‌تواند به کمک داده‌های نرخ انتشار حاصل از تصاویر ماهواره‌ای، نقش مؤثری در شناسایی وضعیت پراکنش دلات معلق ناشی از آتش‌سوزی داشته باشد (Henderson *et al.*, 2008). مدل‌سازی پراکنش دود به منظور شبیه‌سازی وضعیت پراکنش ذرات معلق ناشی از آتش‌سوزی در فضا و زمان و تحلیل تأثیرات آن‌ها بر روی محیط‌زیست و انسان‌ها بکار می‌رود. این مدل‌ها می‌توانند برای شبیه‌سازی پخش آلاینده‌های جوی خروجی از دودکش واحدهای صنعتی در مناطق شهری و همچنین برای مدل‌سازی دود آتش‌سوزی در محیط‌های طبیعی بکار گرفته شوند. برای مدل‌سازی پراکنش دود، ابتدا باید اطلاعات مورد نیاز برای ورود به مدل (مانند نرخ انتشار، ارتفاع، سرعت و جهت باد، دما و رطوبت هوا) با استفاده از داده‌های سنجش از دور و GIS جمع‌آوری شود. سپس با استفاده از مدل‌های پراکنش دود مانند CALPUFF، پخش دود و آلاینده‌های جوی در فضا و زمان شبیه‌سازی شود. مدل CALPUFF یک مدل پخش دود و آلاینده‌ها در جو است که برای شبیه‌سازی پخش آلاینده‌ها در مقیاس‌های مکانی-زمانی و تحلیل تأثیرات آن‌ها بر روی محیط‌زیست و جوامع انسانی بکار می‌رود. این مدل چند لایه‌ای که براساس مدل توده گوسی لاگرانژی طراحی شده است، قادر به شبیه‌سازی مکانی-زمانی انتقال، تبدیل و حذف آلاینده‌های جوی بر اساس وضعیت آب و هوایی است. پیش‌بینی اثرات آلاینده‌ها بر منابع نزدیک سطح زمین با استفاده از الگوریتم‌های مختلف در مدل CALPUFF قابل انجام است (Scire *et al.*, 2000). مرور منابع استفاده از روش تلفیق داده‌های ماهواره‌ای (داده‌های نرخ انتشار ذرات معلق ناشی از آتش‌سوزی‌های طبیعی) با مدل‌های پراکنش آلودگی هوا نشان داد که از این روش در مناطق مختلفی از دنیا بهره گرفته است. برای نمونه، در مطالعه‌ای Reid و همکاران (۲۰۱۳) با استفاده از تلفیق داده‌های ماهواره‌ای مودیس و مدل WRF-Chem، پراکنش مکانی و زمانی ذرات معلق ناشی از آتش‌سوزی سال ۲۰۰۸ میلادی در مناطق جنگلی در کالیفرنیای شمالی را مورد بررسی قرار دادند (Reid *et al.*, 2013). همچنین Lassman و همکاران (۲۰۱۷) به منظور بررسی جمعیت تحت تأثیر از دود ناشی از آتش‌سوزی سال ۲۰۱۲ میلادی در ایالت واشنگتن از تلفیق داده‌های ماهواره‌ای مودیس و مدل انتقال شیمیایی (CTM) استفاده کردند (Lassman *et al.*, 2017). نتایج این مطالعات نشان داد که تلفیق مدل‌سازی آلودگی هوا با داده‌های به دست آمده از تصاویر ماهواره‌ای به‌ویژه در مناطقی که شبکه کنترل سنجش زمینی کیفیت هوا از تراکم کمی برخودار است، نتایج قابل قبولی را ارائه می‌دهد. در بررسی منابع داخلی، مطالعه‌ای در خصوص استفاده از روش تلفیق مدل‌های پراکنش آلودگی هوا و تصاویر ماهواره‌ای یافت نشد.

تالاب هورالعظیم به عنوان یکی از مناطق ارزشمند زیستی در محدوده مرزی دو کشور ایران و عراق، در طی سال‌های اخیر با بحران آتش‌سوزی‌های متعدد همراه بوده است. به دلیل وابستگی بسیاری از جوامع انسانی کوچک و بزرگ در دو کشور همسایه به خدمات محیط‌زیستی تالاب هورالعظیم و هم‌جواری سکونتگاه‌های انسانی با آن، رخدادهای آتش‌سوزی علاوه بر نابودی گونه‌های مختلف زیستی، منجر به افزایش آلودگی هوا در منطقه می‌شود. وسعت زیاد تالاب و عدم امکان دسترسی به بخش‌های مختلف آن هم به دلایل امنیتی-سیاسی در کنار عدم مدیریت یکپارچه تالاب (Garstecki and Amr, 2011)، باعث شده است تا در فصول آتش‌سوزی، شرایط سختی بر تالاب و بر ساکنان هم‌جوار با آن تحمیل گردد. کاهش کیفیت هوا و عوارض ناشی از آن بر سلامت ساکنان مجاور تالاب، یکی از چالش‌های مهم در خصوص آتش‌سوزی‌های تالاب هورالعظیم می‌باشد. بر این اساس،

<sup>1</sup>Fire Radiative Power



شکل ۱- محدوده تالاب هورالعظیم در مرز دو کشور ایران و عراق

شناسایی رفتار رخدادهای آتشسوزی به صورت غیر مستقیم و با استفاده از داده‌های سنجش از دور و شبیه‌سازی پراکنش دود ناشی از آن‌ها به عنوان هدف این تحقیق می‌باشد. سؤالات مهم در این پژوهش عبارتند از: ۱) روند تغییرات آتشسوزی در تالاب هورالعظیم در طی دهه‌های اخیر چگونه بوده است؟، ۲) رخدادهای آتشسوزی در دو بخش ایرانی و عراقی تالاب هورالعظیم از چه وضعیتی برخوردار است؟، ۳) نرخ انتشار آتشسوزی در این تالاب به چه میزان است؟ و ۴) مدل‌سازی پراکنش دود ناشی از آتشسوزی، کدام جوامع انسانی را بیشتر در معرض خطر نشان می‌دهد؟

### روش‌شناسی پژوهش

**منطقه مطالعاتی:** تالاب هورالعظیم به عنوان یک تالاب مرزی در جنوب غربی ایران و جنوب شرقی عراق واقع شده است (شکل ۱). بخش عراقی این تالاب با نام تالاب الهویزه در سال ۱۳۸۶ به عنوان یک تالاب بین‌المللی در کنوانسیون رامسر ثبت شد. تالاب الهویزه با مساحت ۱۳۷۷۰۰ هکتار در مختصات جغرافیایی  $31^{\circ} - 46^{\circ}$  و  $47^{\circ} - 51^{\circ}$  درجه عرض شمالی و  $31^{\circ} - 42^{\circ}$  درجه طول شرقی قرار دارد که در شکل ۱ به رنگ سبز می‌باشد. بخش ایرانی این تالاب که هنوز در لیست تالاب‌های مهم بین‌المللی کنوانسیون رامسر ثبت نشده است در مختصات جغرافیایی  $31^{\circ} - 48^{\circ}$  و  $47^{\circ} - 54^{\circ}$  درجه عرض شمالی و  $31^{\circ} - 42^{\circ}$  درجه طول شرقی قرار دارد. با توجه به اینکه هنوز مرز مشخصی برای آن در نظر گرفته نشده است مرز غیررسمی بخش ایرانی تالاب با خط زرد رنگ مشخص شده است. این تالاب مرزی مهم و بین‌المللی، از طریق رودخانه‌های دجله در عراق و کرخه در ایران تعذیه می‌شود.

**مواد و روش‌ها:** مدل‌سازی پراکنش دود ناشی از آتشسوزی در تالاب هورالعظیم نیازمند داده‌های اولیه شامل نرخ انتشار دود (ذرات معلق کوچکتر از  $10 \mu\text{m}$ ،  $\text{PM}_{10}$ )، داده‌های هواشناسی (دما، رطوبت، سرعت باد، جهت باد، ابرناکی و فشار هوا)، نقشه کاربری اراضی و وضعیت توپوگرافی در محدوده مورد مطالعه می‌باشد. این پژوهش در چهار مرحله کلی شامل: ۱) آماده‌سازی و پیش‌پردازش داده‌ها، ۲) محاسبه نرخ انتشار، ۳) مدل‌سازی انتشار دود و ۴) ارزیابی اثر دود آتشسوزی انجام شد.

**آماده‌سازی و پیش‌پردازش داده‌ها:** با توجه به موقعیت جغرافیایی منطقه مورد مطالعه که در مرز بین دو کشور ایران و عراق قرار دارد، داده‌های مورد استفاده در این پژوهش باید از هر دو کشور تهیه و مورد استفاده قرار می‌گرفت. بدین‌منظور داده‌های هواشناسی ایستگاه‌های سینوپتیک (جدول ۱) منطقه مورد مطالعه (Global Modeling & Assimilation Office (GMAO))،

(Jarvis et al., 2019) و نقشه کاربری اراضی مورد استفاده قرار گرفت.

**محاسبه نرخ انتشار دود:** عدم وجود امکانات مناسب برای اندازه‌گیری مستقیم نرخ انتشار ذرات معلق در زمان آتشسوزی باعث شد تا از روش غیرمستقیم برای برآورد نرخ انتشار در این تحقیق استفاده شود. یکی از روش‌های غیرمستقیم در برآورد نرخ انتشار،

جدول ۱- مشخصات ایستگاه‌های هواشناسی سینوپتیک

| نام ایستگاه    | طول جغرافیایی | عرض جغرافیایی | کشور  |
|----------------|---------------|---------------|-------|
| اهواز          | ۴۸° ۴۵'۴۳"    | ۳۱° ۲۰'۱۳"    | ایران |
| صفی آباد دزفول | ۴۸° ۲۴'۵۹"    | ۳۱° ۱۵'۵۹"    |       |
| آبادان         | ۴۸° ۱۳'۴۱"    | ۳۰° ۲۲'۱۵"    |       |
| بصره           | ۴۷° ۳۹'۴۷"    | ۳۰° ۳۲'۵۶"    | عراق  |
| ناصریه         | ۴۶° ۱۳'۵۹"    | ۳۱° ۰۰'۵۹"    |       |
| العماره        | ۴۷° ۰۹'۵۹"    | ۳۱° ۵۱'۰۰"    |       |
| علی الغربی     | ۴۶° ۴۲'۵۹"    | ۳۲° ۲۷'۵۹"    |       |

استفاده از داده‌های سنجش از دور می‌باشد. وقوع آتش‌سوزی در مناطق طبیعی مانند تالاب هور العظیم از الگوی زمانی مشخصی تعییت نمی‌کند و این یعنی در هر زمان و مکانی که شرایط برای آتش‌سوزی فراهم گردد این اتفاق رخ خواهد داد. بر این اساس، یکی از معیارهای مهم در انتخاب تصویر ماهواره‌ای، اندازه تفکیک زمانی مناسب در تصویربرداری از سطح زمین می‌باشد. تصویربرداری روزانه امکان پایش مستمر و قایق آتش‌سوزی را به خوبی فراهم می‌کند و این در حالی است که سنجنده‌های ماهواره‌ای محدودی دارای این اندازه تفکیک زمانی می‌باشند. علاوه بر این وجود ذرات معلق در هوا باعث می‌شود تا میزان نفوذ نور خورشید در ستونی از جو تا سطح زمین کاهش یابد. این ویژگی تحت عنوان عمق نوری ذرات هوایی (Aerosol Optical Depth) (MODIS) بین‌منظور انتخاب شد (Ichoku and Kaufman, 2005; Reid *et al.*, 2013). یکی دیگر از دلایل انتخاب سنجنده مودیس، امکان شناسایی رخدادهای آتش با استفاده از ابزار اندازه‌گیری نرخ انتشار انرژی تابشی آتش ( $R_{FRE}$ ) یا قدرت تابشی آتش (FRP) توسط این سنجنده می‌باشد. در مدل‌سازی پراکنش دود، شناسایی موقعیت مکانی شروع انتشار دود (موقعیت مکانی آتش) از اهمیت ویژه‌ای برخوردار است که  $R_{FRE}$  قادر به تأمین این نیاز اطلاعاتی می‌باشد. وقوع آتش‌سوزی‌های متعدد در سال‌های اخیر در فصل تابستان در محدوده تالاب هور العظیم باعث شد تا این فصل به عنوان بازه زمانی مطالعاتی انتخاب شود. وجود پدیده‌هایی نظیر پوشش ابری و رخدادهای گردوغبار امکان برآورد غلظت ذرات معلق ناشی از آتش‌سوزی را به شدت کاهش می‌دهد. بر این اساس، برای انتخاب تصاویر مناسب جهت استفاده در این پژوهش، تصاویر روزانه ۹۳ روز از تاریخ ۱۳۹۷-۰۶-۳۱ تا ۱۳۹۷-۰۴-۰۱ به عنوان کیفیت مناسب تصاویر اطلاعات، چهار روز ۱۸ و ۲۳ تیرماه و ۱۸ و ۲۰ شهریورماه ۱۳۹۷ به عنوان تاریخ‌های مورد بررسی انتخاب شدند. رویکرد مورد استفاده در این تحقیق برای برآورد ضریب انتشار دود بر مبنای نرخ انتشار انرژی تابشی آتش، براساس روش ایچوکو و کافمن (Ichoku and Kaufman, 2005) می‌باشد. با وجود تصویربرداری روزانه و شبانه سنجنده مودیس، تنها از تصاویر روز استفاده شد. از بین محصولات مختلف مودیس ۱۴ آکوا و ترا، برای تشخیص آتش‌سوزی و موقعیت مکانی آن‌ها استفاده شد. رخدادهای آتش در این تصاویر دارای اندازه تفکیک مکانی ۱ کیلومتری می‌باشد (Kaufman and Justice, 1998; Kaufman *et al.*, 2003). با توجه به این که در منطقه مورد مطالعه مشعل‌های نفتی نیز وجود دارند جهت تفکیک آتش‌سوزی‌های طبیعی و مشعل‌های نفتی، نقاطی که دارای روند طولانی مدت و مستمر بودند در حکم مشعل نفتی قلمداد کرده و از داده‌های مطالعاتی کار گذاشته شدند. همچنین از محصولات مودیس ۴ آکوا و ترا با اندازه تفکیک ۱۰ کیلومتری برای اندازه‌گیری مقدار عمق نوری ذرات هوایی به عنوان میاری از میزان آورد ستون ذرات معلق دود استفاده شد (Kaufman and Tanré, 1998). برای تخمین ذرات معلق آزادشده از دود آتش‌سوزی از الگوریتم Deep Blue AOD در این پژوهش استفاده شد (Hsu *et al.*, 2004). دامنه عدی این شاخص بین صفر تا پنج می‌باشد که مقدار بیشتر از ۲ نشان‌دهنده غبار شدید یا رخدادهای دودزا نظیر آتش‌سوزی می‌باشد (Chu *et al.*, 2003). در مرحله بعد تمامی رخدادهای آتش‌سوزی اتفاق افتاده در تاریخ‌های مورد مطالعه، در داخل هر پیکسل عمق نوری ذرات هوایی با استفاده از سامانه اطلاعات جغرافیایی QGIS 3.0 استخراج و با هم جمع شدند. برای محاسبه نرخ انتشار، مقدار عمق نوری ذرات هوایی علاوه بر پیکسل دارای رخداد آتش، در پیکسل‌های مجاور آن نیز

به دست آمد. با توجه به اینکه در انتخاب روزهای مورد مطالعه، از انتخاب هرگونه پوشش ابری و یا رخدادهای گردوغبار بودند، اجتناب شده بود، کمترین مقدار عمق نوری ذرات هواویزه در بین پیکسل‌های مجاور به عنوان مقدار پس‌زمینه و پیکسل با بالاترین میزان عمق نوری ذرات هواویزه، نشان‌دهنده مجموع دود ناشی از آتشسوزی به علاوه مقدار پس‌زمینه می‌باشد. تفاضل این دو عدد، مقدار عمق نوری ذرات هواویزه دود آتشسوزی را نشان می‌دهد. با فرض اینکه ابعاد هر پیکسل عمق نوری ذرات هواویزه به صورت ستون مکعب عمودی از سطح زمین به بالا می‌باشد، محاسبه تراکم جرم دود در این ستون مورد نیاز خواهد بود (رابطه ۱).

$$SMD = \tau_a^{Smoke} / \alpha_e$$

رابطه ۱

در این رابطه  $SMD$ : به عنوان تراکم جرم دود (گرم بر مترمربع)،  $\tau_a^{Smoke}$ : مقدار عمق نوری ذرات هواویزه دود آتشسوزی (بدون واحد) و  $\alpha_e$ : ضریب امحاء جرم دود (مترمربع برای هر گرم) می‌باشد. ضریب امحاء جرم دود براساس نوع ماده سوخت یا همان بیومس تعیین می‌شود که وابسته به نوع پوشش اراضی منطقه درگیر آتشسوزی می‌باشد. با توجه به اینکه پوشش اراضی تالاب هورالعظیم به صورت یکپارچه و در طبقه پوشش علفزار قرار دارد (CCI-LC-PUGV2, 2017)، این ضریب برای پوشش علفزار براساس پژوهش Reid و همکاران (۲۰۰۵) مقدار  $4/5$  مترمربع برای هر گرم تعیین شده است. در مرحله بعد برای تعیین مدت زمان پاکسازی ( $t_{clear}$ ) هر ستون پیکسل عمق نوری ذرات هواویزه از دود آتشسوزی از سرعت متوسط باد ( $|u|$ ) در موقعیت مکانی مرکز هر پیکسل و طول هر پیکسل ( $L$ ) استفاده شد (رابطه ۲).

$$t_{clear} = L/|u|$$

رابطه ۲

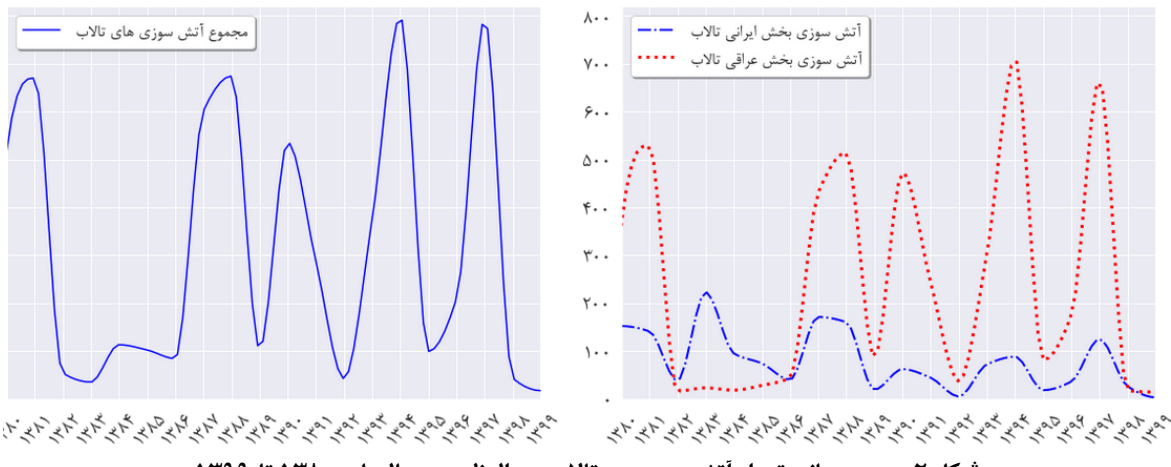
با توجه به اینکه در هر تصویر از سنجنده مودیس در هر یک از تاریخ‌های مورد بررسی امکان ثبت رخدادهای آتشسوزی مختلفی وجود دارد، نیاز است تا از مقدار متوسط تراکم جرم دود ( $SMD_m$ ) برای هر تاریخ تصویربرداری استفاده شود. بر این اساس با محاسبه مقدار تراکم جرم دود برای هر یک از پیکسل‌های عمق نوری ذرات هواویزه، از تقسیم حاصل جمع این مقادیر بر تعداد پیکسل‌های حاوی رخداد آتش مقدار متوسط تراکم جرم دود به عنوان مقدار متوسط به دست آمد. در نهایت با استفاده از رابطه ۳ نرخ انتشار ذرات معلق دود ناشی از آتشسوزی در تالاب هورالعظیم به دست آمد.

$$Q_{PM} = \frac{SMD_m * A_t}{(t_{clear})_m}$$

رابطه ۳

در این رابطه  $Q_{PM}$ : نرخ انتشار ذرات معلق بر حسب گرم بر مترمربع در ثانیه،  $SMD_m$ : متوسط تراکم جرم دود،  $A_t$ : مجموع مساحت پیکسل‌های حاوی رخداد آتش و  $(t_{clear})_m$ : متوسط زمان انتشار دود می‌باشد.

**مدل‌سازی انتشار دود:** برای مدل‌سازی نحوه پراکنش دود ناشی از آتشسوزی از مدل CALPUFF استفاده شد. این مدل یک مدل چندلایه پیشرفتۀ آلودگی هوا است که در شرایط ناپایدار برای پراکنش توده آلاینده، طبق مدل توده گوسی لاگرانژی طراحی شده است. در واقع یک مدل انتقال و پراکندگی است که شبیه‌سازی پراکنش ذرات و گازها را با اثرات شرایط هواشناسی متغیر براساس معادلات تشابه، نحوه انتشار و تبدیل و حذف آلاینده‌ها از آن را توصیف می‌کند. مدل CALPUFF شامل سه مؤلفه CALPOST و CALPUFF و CALMET است که منابع آلاینده به صورت منفرد، نقطه‌ای، سطحی و حجمی را در ارتفاع‌های مختلف مدل‌سازی و پراکنش آلاینده‌های جوی را محاسبه می‌کند (Scire et al., 2000). داده‌هایی که برای اجرای مدل CALPUFF در این پژوهش مورد استفاده قرار گرفته است شامل: ۱) داده‌های هواشناسی سطح زمین به صورت ساعتی شامل: داده‌های دمای هوا، رطوبت نسبی، پوشش ابری، سرعت باد، جهت باد، فشار و بارش، ۲) نقشه کاربری زمین، ۳) نقشه مدل رقومی ارتفاع، ۴) داده‌های هواشناسی جو بالا (۵) اطلاعات مربوط به رخدادهای آتشسوزی تاریخ‌های مورد نظر شامل نقاط آتشسوزی انتخاب شده، نرخ انتشار دود و مساحت منطقه آتشسوزی می‌باشد. CALMET دارای یکسری پیش‌پردازنه است که در جهت آماده‌سازی داده‌های هواشناسی مورد استفاده قرار می‌گیرند. پس از اجرای CALMET و تهیۀ خروجی یکپارچه از شرایط هواشناسی منطقه از آن در بخش بعدی یعنی اجرای مدل CALPUFF برای شبیه‌سازی پراکنش دود ناشی از آتشسوزی استفاده شد. به دلیل حجم بالای داده‌های مورد استفاده و گستردگی منطقه مورد مطالعه و همچنین زمان بر بودن پردازش داده‌ها، اجرای مدل CALPUFF برای ۴ روز و به صورت ۲۶ ساعته انجام شد. این ۴ روز براساس داده‌های آتشسوزی و کیفیت مناسب تصاویر



شکل ۲- سری زمانی تعداد آتش سوزی در تالاب هور العظیم در سال های ۱۳۸۰ تا ۱۳۹۹

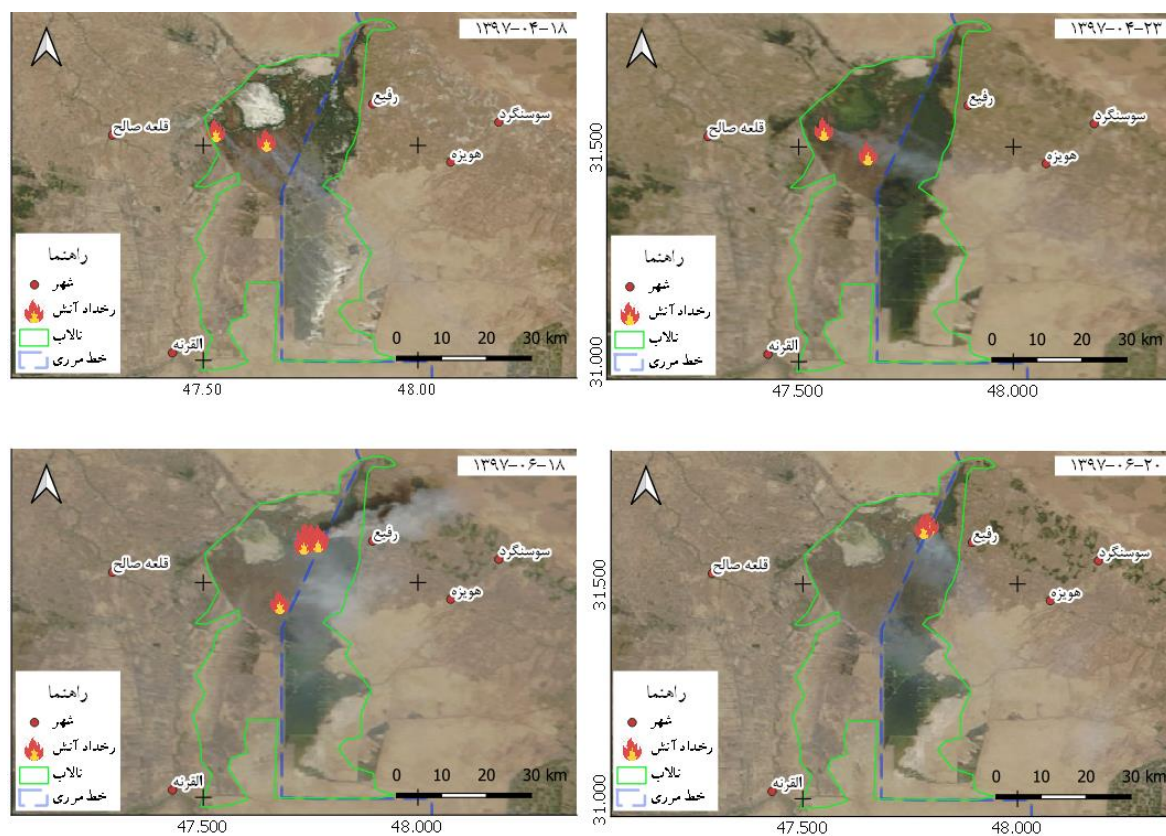
مودیس از دود ناشی از آتش سوزی انتخاب شدند. در مرحله بعد فایل های خروجی از مدل در بخش CALPOST جهت انجام پس پردازش و تهیه نقشه پراکنده دود با اندازه تفکیک مکانی ۱ کیلومتر مورد استفاده قرار گرفتند.

**ارزیابی اثر دود آتش سوزی:** تحلیل جمعیت تحت تأثیر از دود آتش سوزی های تالاب هور العظیم با استفاده از خروجی های مدل در نرم افزار QGIS 3.0 صورت گرفت.

### یافته های پژوهش

**رونده آتش سوزی در تالاب هور العظیم:** روند تغییرات تعداد آتش سوزی در تالاب هور العظیم در طی دو دهه گذشته نشان می دهد که بیشترین تعداد آتش سوزی در منطقه تالابی به تعداد ۷۹۸ و ۷۹۴ رخداد آتش سوزی به ترتیب در سال های ۱۳۹۴ و ۱۳۹۷ اتفاق افتاده است (شکل ۲). همچنین در سال های ۱۳۸۱، ۱۳۸۸ و ۱۳۹۰ به ترتیب ۶۷۴، ۵۳۶ و ۶۷۰ رخداد آتش سوزی براساس تصاویر ماهواره ای مودیس ثبت شده است. با توجه به موقعیت جغرافیایی تالاب هور العظیم در دو سوی مرز کشورهای ایران و عراق (شکل ۱)، از مساحت تقریبی ۲۰۷۵ کیلومتر مربعی تالاب در حدود ۱۳۷۷ کیلومتر مربع در خاک عراق قرار دارد که این مقدار نزدیک به ۶۴٪ از مساحت تالاب هور العظیم می باشد. بر این اساس، توزیع تعداد رخدادهای آتش سوزی در طی این مدت نشان می دهد که از مجموع ۶۱۵۰ رخداد آتش سوزی، تعداد ۴۷۶۹ آتش سوزی در بخش عراقی تالاب اتفاق افتاده است که در حدود ۷۷/۵٪ از مجموع آتش سوزی های تالاب هور العظیم در طی ۲۰ سال گذشته است (شکل ۲). بررسی وضعیت سرعت و جهت وزش باد در دو سال ۱۳۹۷ و ۱۳۹۴ با بیشترین تعداد آتش سوزی ها در محدوده تالاب هور العظیم نشان می دهد که در هر دو سال جهت باد غالب سالیانه و جهت باد غالب تابستانه به عنوان فصل شاخص آتش سوزی، در جنوب غربی می باشد. اما متوسط سرعت باد غالب در سال ۱۳۹۷ نسبت به سال ۱۳۹۴ بیشتر بوده است که با توجه به موقعیت مکانی مرکز جمعیتی در بخش غربی و جنوب غربی تالاب می توانند بیشتر در معرض آسودگی هوای ناشی از آتش سوزی ها قرار گیرند. در تابستان سال ۱۳۹۷ فراوانی باد با سرعت بیش از ۵ متر بر ثانیه ۴۵/۴٪ بود. اما این مقدار در تابستان سال ۱۳۹۴ در حدود ۳۰/۵٪ بود. در مقایسه ای دیگر، در تابستان سال ۱۳۹۷ در ۳۵/۵٪ از مدت زمان این فصل، باد با سرعت بیش از ۵ متر در ثانیه و زیبده است اما در تابستان سال ۱۳۹۴ این مقدار ۲۲/۷٪ درصد بوده است. نتایج نشان می دهد، تالاب هور العظیم در تابستان سال ۱۳۹۷ با ۵۷۲ رخداد آتش سوزی نسبت به تابستان سال ۱۳۹۴ با ۳۷۹ رخداد آتش سوزی، فصل دشواری را سپری کرده است. بر این اساس در این پژوهش رخدادهای آتش سوزی در سال ۱۳۹۷ مورد بررسی قرار گرفت.

**نرخ انتشار ذرات معلق:** محاسبه نرخ انتشار دود براساس اندازه گیری مقدار توان تابشی آتش و عمق نوری ذرات هواییزه با استفاده از داده های ماهواره ای مودیس براساس زمان تصویربرداری برای دو نوبت صبح (Terra) و بعداز ظهر (Aqua) انجام شد. موقعیت مکانی تمامی رخدادهای آتش سوزی در محدوده تالاب هور العظیم در روزهای انتخاب شده براساس تصاویر ماهواره ترا در شکل ۳ ارائه شده است. با توجه به اینکه فاصله زمانی بین دو تصویربرداری در یک روز در حدود ۳ ساعت می باشد بنابراین تنها



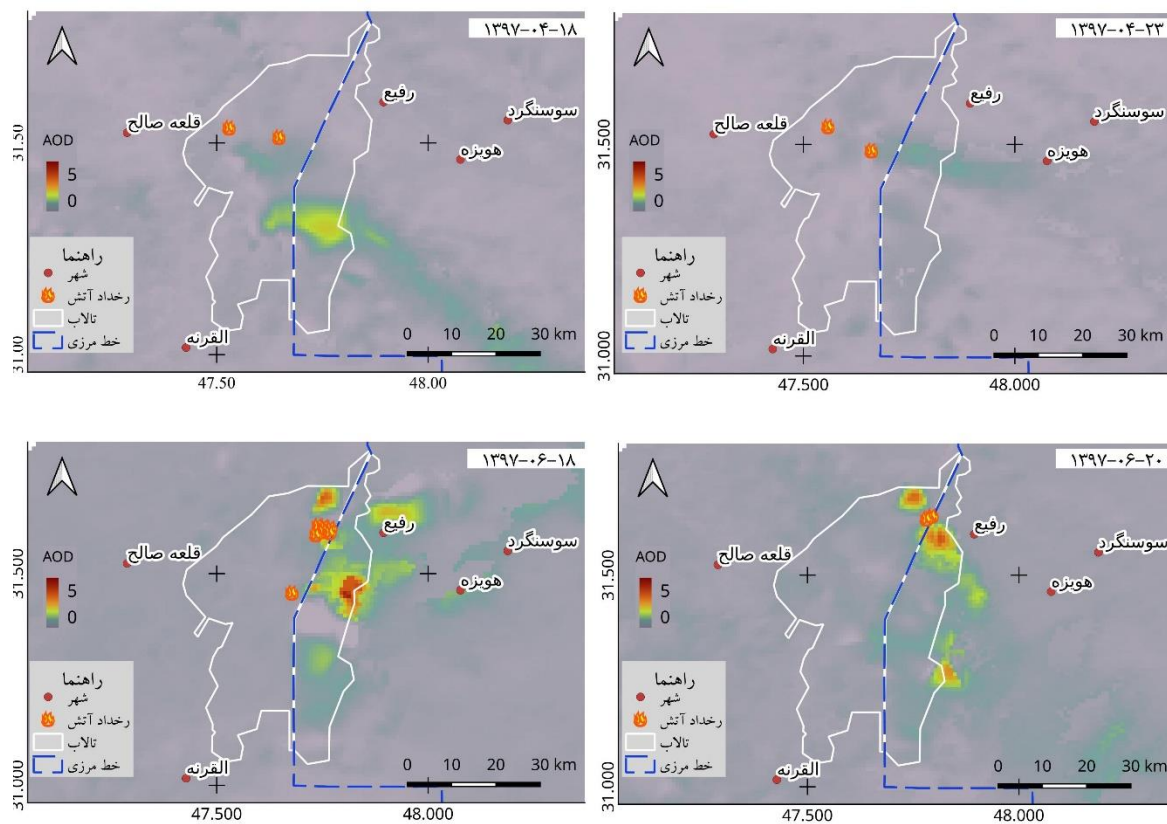
شکل ۳- تصاویر ماهواره‌ای ترا از موقعیت مکانی آتشسوزی‌ها و دود ناشی از آن‌ها در تاریخ‌های مورد بررسی

تصاویر صبح مربوط به ساعت ۱۰:۳۰ ارائه شده است.

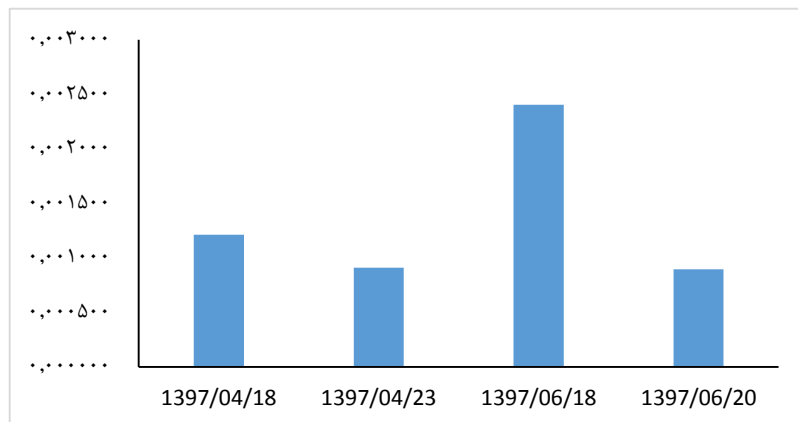
موقعیت مکانی آتشسوزی‌های رخداده و دود ناشی از آن‌ها در طی این چهار روز نشان می‌دهد که تمامی آتشسوزی‌ها در خارج از مرز ایران و در بخش عراقی تالاب هورالعظیم اتفاق افتاده است. همچنین بررسی داده‌های هواشناسی ایستگاه‌های سینوپتیک نزدیک منطقه مطالعاتی شامل اهواز (ایران) و العماره (عراق) نشان می‌دهد که جهت وزش باد غالباً در روزهای آتشسوزی، غربی-شرقی و شمال غربی-جنوب شرقی می‌باشد که با امتداد گسترش دود ناشی از آتشسوزی در تصاویر همخوانی دارد. آتشسوزی در روزهای مورد بررسی در بخش شمالی و مرکزی محدوده تالاب هورالعظیم (مرز سبزرنگ در شکل ۳) اتفاق افتاده‌اند. رخدادهای آتشسوزی ثبت شده در این بازه‌های زمانی نشان می‌دهد که در حدود ۵۴٪ از این رخدادها در زمان بعدازظهر بوده است. عمق نوری هوایی (AOD) به دست آمده برای روزهای مورد بررسی در شکل ۴ ارائه شده است. نقشه‌ها نشان‌دهنده متوسط روزانه شاخص AOD حاصل از تصاویر ترا و آکوا می‌باشد. مقایسه گستره پراکنش دود ناشی از آتشسوزی در تصاویر شکل ۳ با گستره پراکنش شاخص AOD در تصاویر شکل ۴ نشان‌دهنده انتظام آن‌ها، دامنه گسترش دود در امتداد غربی-شرقی و غربی-جنوب شرقی می‌باشد.

براساس روش بیان شده، میزان نرخ انتشار دود برآورد شده برای رخدادهای آتشسوزی در چهار روز مورد نظر و برای دو نوبت صبح و بعدازظهر محاسبه شد (شکل ۵). با توجه به وسعت منطقه مورد نظر و وجود چندین رخداد آتشسوزی همزمان در یک روز برای نوبت‌های صبح و بعدازظهر، تمام نقاط آتشسوزی که در داخل یک پیکسل عمقدوری ذرات هوایی قرار می‌گرفتند به عنوان یک رخداد آتشسوزی در نظر گرفته شده‌اند. بیشترین رخدادهای آتشسوزی استخراج شده از تصاویر مود ۱۶ و مید ۱۴ با ۵ رخداد در ۱۸ شهریور ماه اتفاق افتاده است. بر همین اساس، بیشترین مقدار نرخ انتشار دود ناشی از آتشسوزی، با  $0.0024 \text{ گرم} / 0.0024 \text{ مترمربع}$  در ثانیه، در روز ۱۸ شهریور ماه برآورد شده است. نرخ انتشار برآورد شده براساس تصاویر ترا و آکوا در این روز برای صبح و بعدازظهر به ترتیب  $0.0033 \text{ و } 0.0014 \text{ گرم} / \text{مترمربع}$  در ثانیه بوده است. کمترین مقدار نرخ انتشار در روز ۲۰ شهریور ماه و به میزان  $0.0009 \text{ گرم} / \text{مترمربع}$  در ثانیه برآورد شده است.

**پراکنش ذرات معلق:** محدوده پراکنش ذرات معلق کوچک‌تر از  $10 \text{ میکرون} (\text{PM}_{10})$  براساس نرخ انتشار به دست آمده از تصاویر



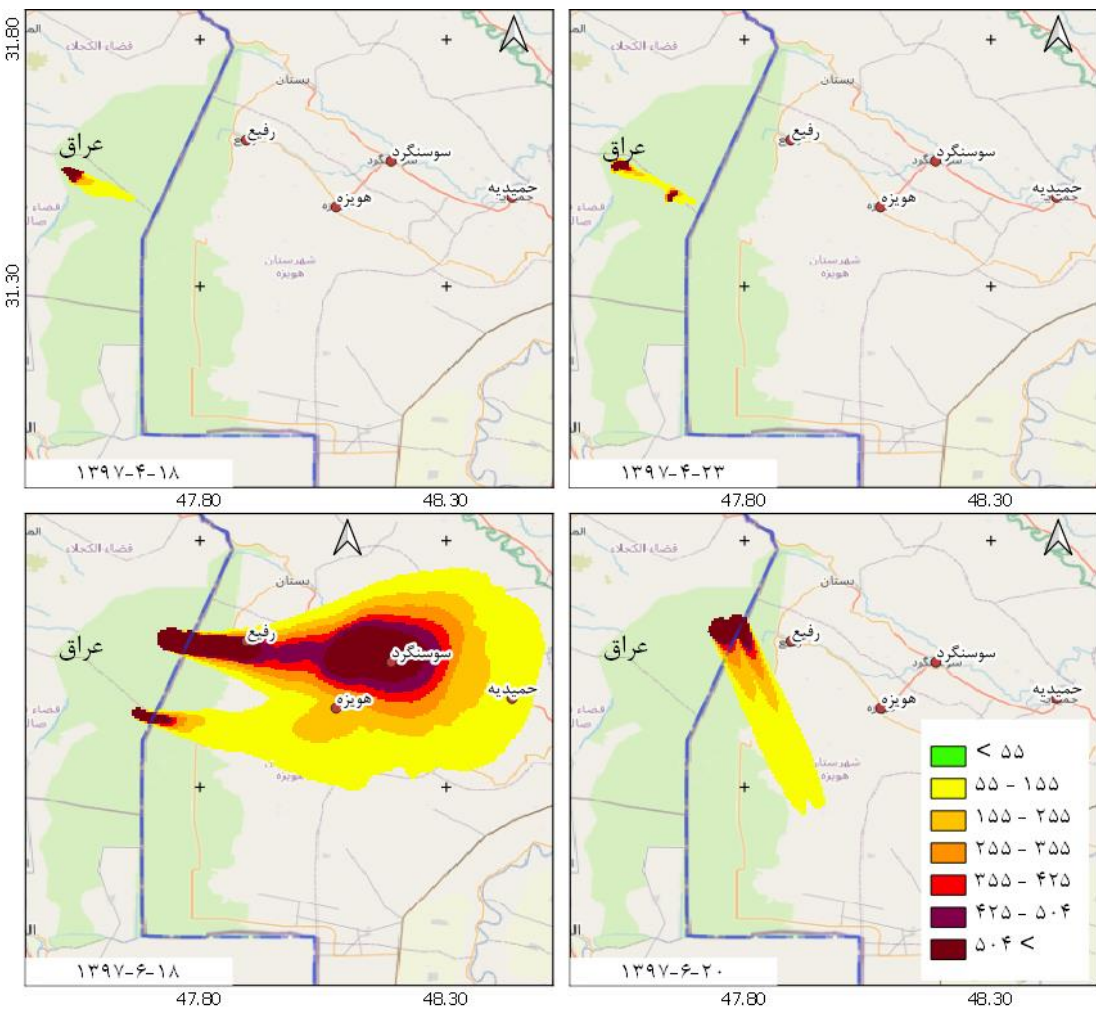
شکل ۴- مقادیر متوسط روزانه AOD (ترا و آکوا) ناشی از آتش‌سوزی در تاریخ‌های مورد بررسی



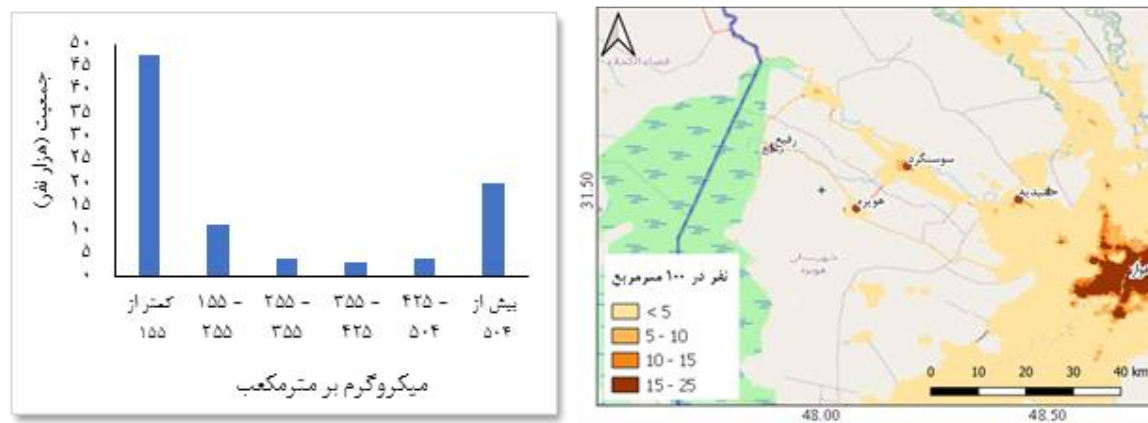
شکل ۵- نرخ انتشار ذرات معلق ناشی از رخدادهای آتش‌سوزی در روزهای مورد بررسی (گرم بر متر مربع در تابعه)

مودیس بر اساس مدل CALPUFF برای چهار روز مورد مطالعه، شبیه‌سازی گردید (شکل ۶). براساس استاندارد کیفیت هوای آزاد سازمان حفاظت محیط‌زیست، ذرات معلق کوچک‌تر از ۱۰ میکرون در بازهٔ زمانی ۲۴ ساعته دارای اهمیت می‌باشد. بر همین اساس، خروجی مدل پراکنش ذرات معلق برای حداقل غلظت ۲۴ ساعته ارائه شده است. طبقه‌بندی مورد استفاده برای نمایش شدت آلایندگی ذرات معلق کوچک‌تر از ۱۰ میکرون براساس طبقات شاخص کیفیت هوای (AQI) برای این آلایندگی می‌باشد (EPA, 2009). برای نمایش بهتر طبقه اول با مقادیر کمتر از ۵۵ میکروگرم بر مترمکعب (رنگ سبز در راهنمای نقشه) نمایش داده نشده است.

**جمعیت تحت تأثیر:** با توجه به نتایج به دست آمده از مدل‌سازی پراکنش ذرات معلق کوچک‌تر از ۱۰ میکرون و نحوه پراکنش آن‌ها (شکل ۶)، جمعیت تحت تأثیر ناشی از آتش‌سوزی روز ۱۸ شهریور مورد بررسی قرار گرفت. بدین‌منظور از روی هم‌گذاری نقشهٔ پراکنش جمعیت براساس آمار جمعیتی سال ۱۳۹۵ با نقشهٔ پراکندگی ذرات معلق کوچک‌تر از ۱۰ میکرون استفاده شد (شکل



شکل ۶- نقشه پراکنش ذرات معلق کوچکتر از ۱۰ میکرون ۲۴ ساعته در تابستان ۱۳۹۷ (میکروگرم بر مترمکعب)



شکل ۷- نقشه پراکنش جمعیت در سال ۱۳۹۵ و نمودار توزیع جمعیت در طبقات مختلف غلظت‌های ذرات معلق کوچکتر از ۱۰ میکرون ناشی از رخداد آتشسوزی در تاریخ ۱۸ شهریورماه

۷). براساس نتایج شکل ۴ و توزیع جمعیتی شهرستان‌های مختلف در محدوده مورد مطالعه، بیشترین جمعیت تحت تأثیر در این روز مربوط به شهرستان‌های دشت آزادگان و هویزه می‌باشد. در مجموع جمعیتی بالغ بر ۴۲۷۰۰ نفر در این روز در معرض غلظت‌های بالای ذرات معلق کوچکتر از ۱۰ میکرون قرار داشتند.

## بحث و نتیجه‌گیری

تالاب هورالعظیم به عنوان یک منطقه ویژه محیط‌زیستی در منطقه مرزی بین دو کشور ایران و عراق، دارای کارکردهای مختلف اکولوژیک، اقتصادی و اجتماعی است. وجود این تالاب در شرایط مطلوب هم در مقیاس محلی بر جامع ساکن در محدوده تالاب و هم در مقیاس منطقه‌ای بر شرایط اکولوژیک و زیستی دو کشور همسایه دارای تأثیرات مثبت زیادی می‌باشد. ایجاد شرایط مطلوب خرد اقلیمی، تضعیف جریان حرکت طوفان‌های گردوغباری، تأمین علوفه، کنترل جریان‌های سیلانی منطقه، پالایش آب ورودی از کرخه، دجله و فرات، فراهم‌آوری زیستگاه مناسب زادآوری و زیست انواع پرندگان، جلوگیری از پیشروی آب شور خلیج فارس به آبخوان‌های ایران و عراق از عمدۀ اثرات مثبت این تالاب می‌باشد. دو عامل مهم تغییر اقلیم و عدم وجود مدیریت یکپارچه (به‌دلیل قرار داشتن در دو کشور) در تالاب هورالعظیم (Garstecki and Amr, 2011)، باعث تغییر در کارکردهای مطلوب این تالاب می‌شود. به‌دلیل اثر هم‌افزایی این دو عامل، تغییرات صورت گرفته می‌تواند منجر به ایجاد بحران‌های مهم در منطقه شود. یکی از این بحران‌های مرتبط با تالاب هورالعظیم، آتش‌سوزی و اثرات ناشی از آن می‌باشد. بررسی روند تغییرات تعداد رخدادهای آتش‌سوزی در دو بخش ایرانی و عراقی تالاب هورالعظیم (شکل ۲) نشان می‌دهد که هر دو بخش تقریباً از الگوی مشابهی تعیت می‌کنند و به‌طور کلی تعداد آتش‌سوزی‌ها همواره در بخش عراقی تالاب بیشتر از بخش ایرانی بوده است. Dehcheshmeh و Ghaedi (۲۰۲۰) نیز در بررسی اثر تغییر اقلیم بر مهاجرت اکولوژیک در استان خوزستان بر افزایش آتش‌سوزی‌ها به‌ویژه در تالاب هورالعظیم بین سال‌های ۱۳۹۶ تا ۱۳۹۷ اشاره داشته‌اند. پراکندگی مکانی آتش‌سوزی‌ها در طی این مدت در تمامی پهنه‌های تالابی به‌جز دو منطقه در شمال و شمالی غربی تالاب که در خاک عراق قرار دارد، مشاهده می‌شود. بررسی روند تغییرات پوشش اراضی توسط تصاویر ماهواره‌ای بین سال‌های ۱۹۷۳ تا ۲۰۰۲ میلادی توسط Muhsin (۲۰۱۱) و همچنین بین سال‌های ۱۹۸۶ تا ۲۰۱۸ میلادی توسط Ismail و همکاران (۲۰۲۰) نشان داد که این دو بخش عاری از رخداد آتش‌سوزی در طی این مدت، همواره به شکل یک مخزن آب عمل کرده است. می‌توان گفت که بخش عمیق تالاب هورالعظیم در این دو منطقه قرار داشته که محل ورود یکی از شاخه‌های فرعی رودخانه دجله می‌باشد. بر این اساس، فارغ از وجود عوامل عمدی یا غیرعمدی در شروع آتش‌سوزی در تالاب هورالعظیم، آنچه اهمیت دارد بسترسازی مناسب برای ادامه آتش‌سوزی و گسترش آن در پهنه‌های وسیع است. این بسترسازی می‌تواند به دلایل مختلفی نظیر میزان رطوبت خاک، دما و رطوبت هوای میزان زی توده، سرعت و شدت وزش باد، دوری و نزدیکی به مناطق مسکونی، جاده‌های دسترسی و عدم مدیریت یکپارچه سرزمنی باشد (Garstecki and Amr, 2011; Dehcheshmeh, 2020). علاوه بر این، عوامل دیگری نظیر شرایط سیاسی حاکم در منطقه عراق که در طی دهه‌های گذشته دستخوش تغییرات زیادی بوده است نیز می‌تواند بر بحران آتش‌سوزی در تالاب هورالعظیم مؤثر بوده باشد (Kadhim et al., 2020). نتایج به‌دست‌آمده از بررسی شرایط غالب هوشناکی شامل سرعت و جهت باد، توزیع رخدادهای آتش‌سوزی در فصل تابستان در سال‌های مختلف و همچنین کیفیت داده‌های ماهواره مودیس، زمینه‌ساز انتخاب روزهای محدود و مناسب برای تحلیل رخداد آتش‌سوزی در تالاب هورالعظیم در مطالعه حاضر شد. انتشار دود ناشی از آتش‌سوزی در تمامی این روزها به سمت ایران، اما با جهت‌های مختلف وزش باد بوده است. تصویر رنگی طبیعی که از ترکیب باندهای ۱، ۴ و ۳ مودیس به‌دست‌آمده است نقش مهمی در تشخیص دود (smoke) داشته (Li et al., 2015)، همچنین موقعیت مکانی آتش‌سوزی که با استفاده از تصاویر مود ۱۴ و مید ۱۴ به‌دست‌آمده است بر وقوع رخداد آتش‌سوزی در نقطه شروع انتشار دود به شکل زنگوله‌ای تأکید دارد. بیشترین حجم دود که به صورت چشمی از روی تصویر رنگی طبیعی قابل تشخیص است در تاریخ ۱۸ شهریورماه ۱۳۹۷ اتفاق افتاده است. تعیین ضرایب نرخ انتشار براساس روش ارائه شده Jordan و همکاران (۲۰۰۸) با استفاده از تصاویر ماهواره‌ای مودیس به عنوان یکی از روش‌های شناخته شده و پرکاربرد (Ichoku and Kaufman, 2005; Williamson et al., 2013; Liu et al., 2015; Lu et al., 2019) به خوبی توانست نرخ انتشار ذرات متعلق برای رخدادهای آتش‌سوزی را برآورد کند. همان‌گونه که انتظار می‌رفت با توجه به حجم دود ناشی از آتش‌سوزی در ۱۸ شهریور ماه میزان نرخ انتشار برآورده شده در این روز نیز بیشتر از دیگر روزها می‌باشد (شکل ۶). با توجه به وجود پوشش اراضی علفزار و نیزار به صورت یکپارچه و عدم وجود تنوع به لحاظ پوشش گیاهی و

همچنین استفاده از ضرایب تجربی به دست آمده در این نوع کاربری (Jordan *et al.*, 2008), در خصوص عدم قطعیت نرخ‌های به دست آمده به میزان عدم قطعیت این مقادیر به منبع مورد استفاده ارجاع داده می‌شود. براساس موقعیت مکانی آتشسوزی‌های صورت گرفته (شکل ۳)، با توجه به گستردگی منطقه تحت تأثیر از دود ناشی از آتشسوزی و همچنین نقش مثبت داده‌های هواشناسی ایستگاه‌های متعدد به جای یک ایستگاه هواشناسی در آنالیز و شبیه‌سازی پراکنش دود انتخاب مدل CALPUFF گرینه مناسبی برای این هدف بوده است (Scire, 2000). با توجه به محدودیت مدل ایرمود (Aermod) در استفاده از داده‌های بیش از یک ایستگاه هواشناسی و همچنین عدم توانایی در آنالیز داده‌ها در حییم بیش از ۵۰ کیلومتری از منبع انتشار دود، عملاً امکان استفاده از این مدل در این مطالعه نمی‌توانست درست باشد (Rood, 2014). بررسی خروجی و اعتبارسنجی نتایج حاصل از مدل CALPUFF در مناطقی که فاقد اطلاعات زمینی مناسب از غلظت ذرات معلق در زمان آتشسوزی هستند، از نقاط ضعف این گونه پژوهش‌ها به شمار می‌رود (Henderson, 2008). با توجه به اینکه وجود ایستگاه‌های سنجش کیفیت هوای آزاد تنها به محیط‌های شهری محدود می‌شود بنابراین عدم وجود اطلاعات کافی در محدوده تالاب هورالعظیم و همچنین به دلیل شرایط بحرانی شکل گرفته در زمان وقوع آتشسوزی و تلاش سازمان‌های مربوط در کنترل و مهار آتشسوزی مانع از انجام نمونه‌برداری-های میدانی در سنجش کیفیت هوا شده است. از سوی دیگر، علی‌رغم وجود ایستگاه سنجش کیفیت هوا در شهر سومنگرد به عنوان نزدیک‌ترین ایستگاه برداشت آلینده، متأسفانه در تاریخ‌های مورد نظر هیچ‌گونه اطلاعاتی در این خصوص در سامانه پایش کیفیت هوای کشور وجود ندارد. براساس شکل ۶ نتایج شبیه‌سازی نشان داد که در تاریخ ۱۸ شهریور ۱۳۹۷ بیشترین غلظت ذرات معلق در محدوده شهر سومنگرد وجود داشته است. همچنین شهرهای رفیع و هویزه نیز مهم‌ترین مراکز جمعیتی بودند که در این روز به شدت تحت تأثیر دود ناشی از آتشسوزی تالاب قرار گرفتند. در روزهای ۱۸ و ۲۳ تیرماه غلظت بالای ذرات معلق کوچک‌تر از ۱۰ میکرون ناشی از آتشسوزی در داخل محدوده تالاب بوده است و در تاریخ ۲۰ شهریورماه به دلیل جهت باد شمال غربی-جنوب شرقی مرکز جمعیتی خاصی تحت تأثیر نبوده است. وجود اطلاعات کافی و ثبت شده در خصوص تعداد افراد مراجعه‌کننده ناشی از مشکلات تنفسی در روزهای مورد بررسی و بهویژه در تاریخ ۱۸ شهریور می‌تواند بر صحبت و سقم نتایج حاصل از مدل تأثیر مثبت داشته باشد که متأسفانه عدم ارائه چنین اطلاعاتی می‌تواند مطالعات این چنینی را خدشه‌دار نماید. کنترل دستگاه‌های سنجش کیفیت هوا و کالیبره بوده چنین دستگاه‌هایی بهویژه در مناطق حساس و در فصول شاخص آتشسوزی علاوه بر ارائه اطلاعات درست از وضعیت منطقه در زمان بحران به عنوان داده‌های مناسب در تحلیل کوتاه‌مدت و درازمدت مطالعات ارزیابی سلامت می‌تواند نقش مهمی داشته باشد. با این وجود، مقایسه نتایج حاصل از استخراج داده‌های مقادیر متوسط روزانه AOD (شکل ۶) تصاویر ماهواره‌ای مودیس (شکل ۴) و نتایج حاصل از مدل سازی پراکنش ذرات معلق با استفاده از مدل CALPUFF (شکل ۶) نشان داد که چنین روشنی می‌تواند در مناطقی که با کمبود اطلاعات زمینی و مشکل دسترسی مواجه هستند، مورد استفاده قرار گیرد. یکی از محدودیت‌های مطالعه حاضر عدم امکان دسترسی به منطقه مزدی بهویژه در بخش عراقی آن بوده است. بر این اساس، به نظر می‌رسد استفاده از شاخص‌های مناسب پوشش گیاهی، رطوبت خاک و حرارت استخراج شده از داده‌های سنجش از دور بتواند تا حد زیادی کمبود اطلاعاتی منطقه را جبران نماید. وقوع رخدادهای آتشسوزی به دلیل مختلف از جمله تغییر اقلیم و اثرات آن‌ها امروزه یکی از چالش‌های مهم در حفظ کیفیت سلامت اکوسیستم‌های طبیعی و جوامع انسانی هم‌جوار می‌باشد. استفاده از داده‌های سنجش از دور برای برآورد نرخ انتشار ذرات معلق ناشی از آتشسوزی در چنین مناطقی به دلیل عدم امکان استقرار تجهیزات اندازه‌گیری کیفیت هوا از بهترین گزینه‌های حال حاضر می‌باشد. تلفیق مدل سازی انتشار دود ناشی از آتشسوزی با داده‌های سنجش از دور به عنوان یک رویکرد ترکیبی می‌تواند نقش مؤثری در شناسایی و بهبود سلامت عمومی جوامع تحت تأثیر داشته باشد. رویکرد CALPUFF-MODIS مورد استفاده در این تحقیق می‌تواند به عنوان یک ابزار مدیریتی در فصول رخدادهای آتشسوزی در مناطق حساس زیستی کاربرد داشته باشد. هر چند وجود داده‌های میدانی می‌تواند در کاهش عدم قطعیت نتایج به دست آمده مؤثر باشد اما به عنوان روشنی با پوشش گستره‌های زمانی و مکانی مختلف دارای مزیت است.

## References

- CCI, E. L.C., 2017. Product user guide version 2.0. UCL-Geomatics, London, UK, 105 p.
- Chu, D.A., Kaufman, Y.J., Zibordi, G., Chern, J.D., J., Mao, C. Li, Holben, B.N., 2003. Global monitoring of air pollution over land from the Earth Observing System-Terra Moderate Resolution Imaging Spectroradiometer (MODIS). Journal of Geophysical Research: Atmospheres 108(21), 1-

- 18.
- Dehcheshmeh, M.M., Ghaedi, S., 2020. Climate Change and Ecological Migration: A Study of Villages in the Province of Khuzestan, Iran, Environmental Research. Engineering and Management 76(1), 6-19.
- Ellicott, E., Vermote, E., Giglio, L., Roberts, G., 2009. Estimating biomass consumed from fire using MODIS FRE. Geophysical Research Letters 36(13), 1-5.
- EPA, 2009. AQI: A Guide to Air Quality and Your Health. USA, EPA, 12 p.
- Freeborn, P.H., Wooster M. J., Roy D. P., Cochrane M. A., 2014. Quantification of MODIS fire radiative power (FRP) measurement uncertainty for use in satellite-based active fire characterization and biomass burning estimation. Geophysical Research Letters 41(6), 1988-1994.
- Garstecki, T., Amr, Z., 2011. Biodiversity and ecosystem management in the Iraqi Marshlands—screening study on potential World Heritage Nomination. IUCN (International Union for Conservation of Nature), Amman, Jordan, 189 p.
- Global Modeling & Assimilation Office (GMAO), 2015. MERRA-2 tavg1\_2d\_lnd\_Nx: 2D, 1-Hourly, Time-averaged, Single-level, Assimilation, Land Surface Diagnostics V5.12.4. Accessed 2 March 2017. Goddard Earth Sciences Data and Information Services Center (GES DISC), Greenbelt, MD, USA.
- Hauptman, M., Balmes, J.R., Miller, M.D., 2020. The hazards of wildfire smoke exposure for children. Current Problems in Pediatric and Adolescent Health Care 100756.
- Henderson, S.B., Burkholder, B., Jackson, P.L., Brauer, M., Ichoku, C., 2008. Use of MODIS products to simplify and evaluate a forest fire plume dispersion model for PM10 exposure assessment. Atmospheric Environment 42(36), 8524-8532.
- Hsu, N.C., Tsay, S.C., King, M.D., Herman, J.R., 2004. Aerosol properties over bright-reflecting source regions. IEEE Transactions on Geoscience and Remote Sensing 42(3), 557-569.
- Ichoku, C., Kaufman, Y.J., 2005. A method to derive smoke emission rates from MODIS fire radiative energy measurements. IEEE transactions on Geoscience and Remote Sensing 43(11), 2636-2649.
- Ichoku, C., Giglio, L., Wooster, M.J., Remer, L.A., 2008. Global characterization of biomass-burning patterns using satellite measurements of fire radiative energy. Remote Sensing of Environment 112, 2950-2962.
- Ismail, R.R., Al-Abudi, B.Q., Hussein, Z.F., 2020. Land cover change detection using satellite images based on modified spectral angle mapper method. Plant Archives 20(1), 2363-2371.
- Jarvis A, Reuter, H., Nelson, A., Guevara, E., 2019. Hole-filled SRTM for the globe version 4. Available from the cgiar-csi SRTM 90m Database.
- Jordan, N.S., Ichoku, C., Hoff, R.M., 2008. Estimating smoke emissions over the US Southern Great Plains using MODIS fire radiative power and aerosol observations. Atmospheric Environment 42(9), 2007-2022.
- Kadhim, A.A., Shortridge, A., Al-Nasrawi, A.K., 2021. Causes and consequences of environmental degradation along the Shatt Al-Arab River: a coupled human and natural systems (CHANS) perspective. GeoJournal 86, 2709-2722.
- Kaiser, J.W., Heil, A., Andreae, M. O., Benedetti, A., Chubarova, N., Jones, L., Morcrette, J-J., 2012. Biomass burning emissions estimated with a global fire assimilation system based on observed fire radiative power. Biogeosciences 9(1), 527-554.
- Kaufman, Y.J., Remer, L. A., Ottmar, R.D., Ward, D.E., Li, R.R., Kleidman, R., Fraser, R.S., Flynn, L. P., McDougal, D., Shelton, G., 1996. Relationship between remotely sensed fire intensity and rate of emission of smoke: SCAR-C experiment, Global Biomass Burning, pp. 685-696.
- Kaufman, Y.J., Justice, C.O., 1998. Algorithm technical background document MODIS FIRE PRODUCTS, version 2, 30-35.
- Kaufman, Y.J., Tanré, D., 1998. Algorithm for remote sensing of tropospheric aerosol from MODIS, NASA MODIS Algorithm Theoretical Basis Document, Goddard Space Flight Center 85, 3-68.
- Kaufman, Y.J., Ichoku, C., Giglio, L., v. S. x, Chu, D.A., Hao, W.M., Li, R.R., Justice, C.O., 2003. Fire and smoke observed from the Earth Observing System MODIS instrument products, validation, and operational use. International Journal of Remote Sensing 24(8), 1765-1781.
- Lassman, W., Ford, B., Gan, R. W., Pfister, G., Magzamen, S., Fischer, E. V., Pierce, J. R., 2017. Spatial

- and temporal estimates of population exposure to wildfire smoke during the Washington state 2012 wildfire season using blended model, satellite, and in situ data. *GeoHealth* 1(3), 106-121.
- Li, X., Song, W., Lian, L., Wei, X., 2015. Forest fire smoke detection using back-propagation neural network based on MODIS data. *Remote Sensing* 7(4), 4473-4498.
- Liu J.C., Pereira, G., Uhl, S.A., 2015. A systematic review of the physical health impacts from nonoccupational exposure to wildfire smoke. *Environmental Research* 136, 120-132.
- Liu, M., Song, Y., Yao, H., Kang, Y., Li, M., Huang, X., Hu, M., 2015. Estimating emissions from agricultural fires in the North China Plain based on MODIS fire radiative power. *Atmospheric Environment* 112, 326-334.
- Long J.W., Tarnay, L.W., North, M.P., 2018. Aligning smoke management with ecological and public health goals. *Journal of Forestry* 116, 76-86.
- Lu, X., Zhang, X., Li, F., Cochrane, M.A., 2019. Investigating Smoke Aerosol Emission Coefficients Using MODIS Active Fire and Aerosol Products: A Case Study in the CONUS and Indonesia. *Journal of Geophysical Research: Biogeosciences* 124(6), 1413-1429.
- Lumbierres, M., Méndez, P.F., Bustamante, J., Soriguer, R., Santamaría, L., 2017. Modeling biomass production in seasonal wetlands using MODIS NDVI land surface phenology. *Remote Sensing* 9(4), 392-410.
- Mazzoni, D., Logan, J.A., Diner, D., Kahn, R., Tong, L., Q., 2007. A data-mining approach to associating MISR smoke plume heights with MODIS fire measurements. *Remote Sensing of Environment* 107(1-2), 138-148.
- Mills, D., Jones, R., Wobus, C., Ekstrom, J., Jantarasami, L., Juliana, A., Crimmins, A., 2018. Projecting age-stratified risk of exposure to inland flooding and wildfire smoke in the United States under two climate scenarios. *Environ Health Perspect* 126(4), 047007.
- Mitsch W.J., Gosselink, J.G., 2007. Wetlands. 4th ed. Hoboken, NJ: John Wiley & Sons, 582 p.
- Muhsin, I.J., 2011. Al-hawizeh marsh monitoring method using remotely sensed images, *Iraqi Journal of Science* 52(3), 381-387.
- Myers-Pigg, A.N., Griffin, R.J., Louchoourn, P., Norwood, M.J., Sterne, A., Cevik, B.K., 2016. Signatures of biomass burning aerosols in the plume of a saltmarsh wildfire in South Texas. *Environmental Science & Technology* 50(17), 9308-9314.
- Naeher LP, Brauer, M., Lipsett, M., Zelikoff, J.T., Simpson, C.D., Koenig, J.O., Kirk, R.S., 2007, Woodsmoke health effects: a review. *Inhalation Toxicology* 19(1), 67-106.
- Reid, C.E., Brauer, M., Johnston, F.H., Jerrett, M., Balmes, J.R., Elliott, C.T., 2016. Critical review of health impacts of wildfire smoke exposure. *Environmental Health Perspectives* 124(9), 1334-1343.
- Reid, J.S., Eck, T.F., Christopher, S.A., R., Koppmann, Dubovik, O., Eleuterio, D.P., Holben, B.N., Reid,E.A., Zhang, J., 2005. A review of biomass burning emissions part III: intensive optical properties of biomass burning particles. *Atmospheric Chemistry and Physics* 5, 827-849.
- Reid, C.E., Maestas, M.M., 2019. Wildfire smoke exposure under climate change: impact on respiratory health of affected communities. *Current Opinion in Pulmonary Medicine* 25(2), 179-187.
- Reid, C., Jerrett, M., Tager, I., Petersen, M., Morefield, P., Balmes, J. R., 2013. Spatiotemporal modeling of wildfire smoke exposure in Northern California using satellite data and chemical transport models. In ISEE Conference, Basel, Switzerland. 4826 p.
- Remy, S., Kaiser, J.W., 2014. Daily global fire radiative power fields estimation from one or two MODIS instruments. *Atmospheric Chemistry and Physics* 14, 13377-13390.
- Rice M.B., Thurston, G.D., Balmes, J.R., Pinkerton, K.E., 2014. Climate change. A global threat to cardiopulmonary health. *American Journal of Respiratory and critical Care Medicine* 189(5), 512-519.
- Rood, A.S., 2014. Performance evaluation of AERMOD, CALPUFF, and legacy air dispersion models using the Winter Validation Tracer Study dataset. *Atmospheric Environment* 89, 707-720.
- Scire, J.S., Strimaitis, D.G., Yamartino, R.J., 2000. A user's guide for the CALPUFF dispersion model, Earth Technical Incorporated. pp. 1-521.
- Settele, J., Scholes, R., Betts, R.A., Bunn, S., Leadley, P., D., Nepstad, Overpeck, J., Taboada, M.A., Fischlin, A., Moreno, J.M., Root, T., 2015. Terrestrial and inland water systems, In Climate change 2014 impacts, adaptation and vulnerability: Part A: Global and sectoral aspects, Cambridge University Press, 89 p.
- Smith, A.M.S., Wooster, M.J., 2005. Remote classification of head and backfire types from MODIS fire

- radiative power observations. International Journal of Wildland Fire 14, 249-254.
- US Environmental Protection Agency, 2012. Report to Congress on Black Carbon (EPA-450/R-12-001), US Environmental Protection Agency. Washington, DC, 388 p.
- Val Martin, M., Logan, J.A., Kahn, R.A., Leung, F.-Y., Nelson, D.L., Diner, D.J., 2010. Smoke injection heights from fires in North America: Analysis of 5 years of satellite observations. Atmospheric Chemistry and Physics 10, 1491-1510.
- Vermote, E., Ellicott, E., Dubovik, O., Lapyonok, T., Chin, M., Giglio, L., Roberts, G.J., 2009. An approach to estimate global biomass burning emissions of organic and black carbon from MODIS fire radiative power. Journal of Geophysical Research: Atmospheres 114, D18205.
- Weise, D.R., Wright, C.S., 2014. Wildland fire emissions, carbon and climate: characterizing wildland fuels. Forest Ecology and Management 317, 26-40.
- Westerling AL, Hidalgo, H.G., Cayan, D.R., Swetnam, T.W., 2006. Warming and earlier spring increase western US forest wildfire activity. Science 313(5789), 940-943.
- Wiedinmyer, C., Quayle, B., Geron, C., Belote, A., McKenzie, D., X., Zhang, O'Neill, S., Wynnen, K.K., 2006. Estimating emissions from fires in North America for air quality modeling. Atmospheric Environment 40(19), 3419-3432.
- Williamson, G.J., Price, O.F., Henderson, S.B., Bowman, D.M., 2013. Satellite-based comparison of fire intensity and smoke plumes from prescribed fires and wildfires in south-eastern Australia. International Journal of Wildland Fire 22(2), 121-129.
- William J. Mitsch, Bernal, B., Hernandez, M.E., 2015. Ecosystem services of wetlands, International Journal of Biodiversity Science. Ecosystem Services & Management 11(1), 1-4.
- Williamson GJ, Bowman, D., Price, O.F., Henderson, S.B., Johnston, F.H., 2016. A transdisciplinary approach to understanding the health effects of wildfire and prescribed fire smoke regimes. Environmental Research Letters 11(12), 125009.
- Wooster, M.J., Zhang, Y.H., 2004. Boreal forest fires burn less intensely in Russia than in North America. Geophysical Research Letters 31(20), L20505.